## 常誘電相における BaTiO3 結晶の角度分解偏光ラマン散乱 II

島根大教育<sup>1</sup>, 立命館大理工<sup>2</sup>, 筑波大数物<sup>3</sup>, <sup>0</sup>塚田真也<sup>1</sup>, 藤井康裕<sup>2</sup>, 小島誠治<sup>3</sup>, 秋重幸邦<sup>1</sup>

Angle resolved polarized Raman scattering from BaTiO<sub>3</sub> crystals in the paraelectric phase II Shimane Univ. <sup>1</sup>, Ritsumeikan Univ. <sup>2</sup>, Univ. Tsukuba<sup>3</sup>, S. Tsukada<sup>1</sup>, Y. Fujii<sup>2</sup>, S. Kojima<sup>3</sup>, and Y. Akishige<sup>1</sup>,

## E-mail: tsukada@edu.shimane-u.ac.jp

 $BaTiO_3$ からのラマン散乱を使ってデバイスの歪評価を行う,といった研究は昔から多く成されている。しかし,なぜ立方晶のペロブスカイト構造である常誘電相にラマン散乱が現れるのかといった基礎的な問題には未だ明確な答えがないままである。常誘電相におけるラマン散乱は,従来の「特別な格子振動の凍結」で強誘電性相転移を説明する考えとは矛盾しており,不規則構造の存在が実験・理論の両面から指摘されてきた。多くの実験結果を基に,現在, $BaTiO_3$ の常誘電相はミクロな強誘電相の時空間における平均構造として理解されている[1].本研究では,光の偏光角を波長板で変化させながらラマンスペクトルを取得する「角度分解偏光ラマン散乱測定」を行い,常誘電相に存在する不規則構造について考察を行った。

FIG. 1 に 3 つの温度における角度分解偏光ラマンスペクトルを示す. 角度は、光の偏光方向を示す([100]が  $12^{\rm o}$ に対応). BaTiO<sub>3</sub> の常誘電相では結晶構造の対称性によりラマン活性なモードは出現しないと予想されるが、明らかなピークが現れている. このラマン散乱は本実験の上限 850 K でも存在し、相転移温度以上において温度上昇と共にセントラルピーク(準弾性散乱)の高さが低くなり、幅が広くなる様子が分かる. 一方、200 cm<sup>-1</sup> のピークは強度が大きくなり、幅が広くなっている. 強誘電相では、セントラルピークが巨大になり、それぞれのピークも細く顕著な偏光角度依存性を示すことが分かった. これらの情報を基に、常誘電相におけるラマン散乱の起源や強誘電性相転移の機構について考察を行った.

## REFERENCE

[1] K. Tsuda, et al. Phys. Rev. B 86, 214106 (2012).

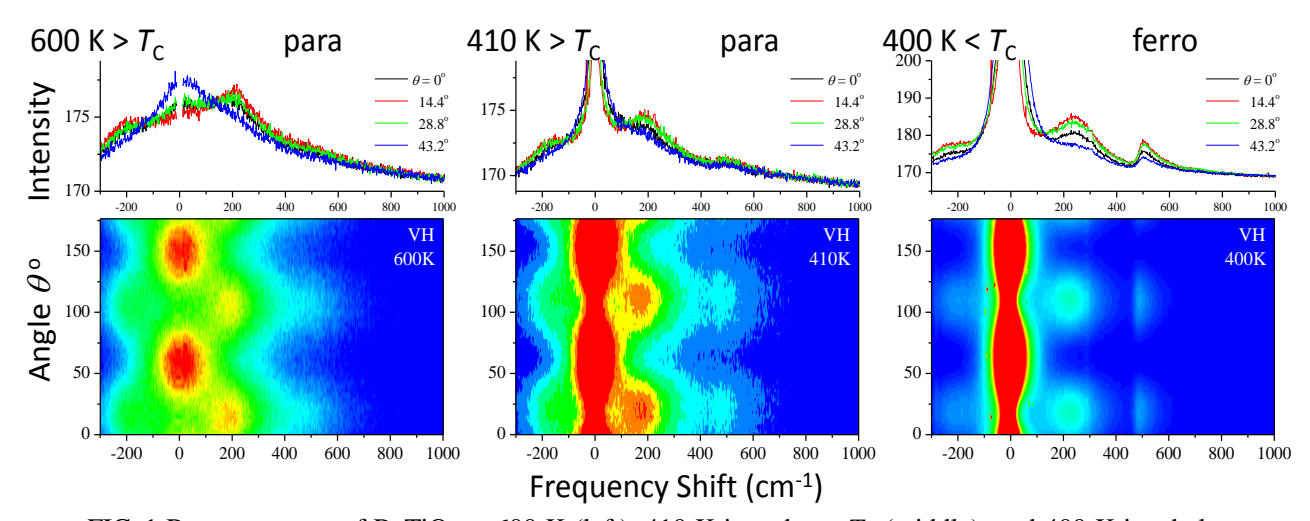


FIG. 1 Raman spectra of BaTiO<sub>3</sub> at 600 K (left), 410 K just above  $T_{\rm C}$  (middle), and 400 K just below  $T_{\rm C}$  (right) in the backscattering geometry on (001) plane crystal. The angle denotes polarization direction of incident light. [100]-direction corresponds to  $12^{\rm o}$ , while [010]-direction corresponds to  $102^{\rm o}$ . The central peak becomes wider and lower as temperature goes away from  $T_{\rm C}$ . On the other hand, phonon peaks becomes larger and diffuse at high temperatures.